

3. Е. Р. Мустель, В. Н. Парыгин. Методы модуляции и сканирования света. М., «Наука». 1970.
4. У. А. Шерклифер. Поляризованный свет. М., «Мир», 1965.
5. Yu. N. Dubnitshev, P. Ya. Belousov, A. A. Stolpovski. The application an electro-optical frequency modulator with a rotating electric field in optical Doppler velocimeter.—“Opt. and Laser Technology”, 1976, vol. 8, № 6.

Поступило в редакцию 29 октября 1976 г.

УДК 535.317

**А. М. РЯБЧУН**  
(*Новосибирск*)

### АХРОМАТИЗМ ОПТИЧЕСКОГО КЛИНА ИЗ ГОЛОГРАФИЧЕСКИХ ЭЛЕМЕНТОВ

Известно, что основной недостаток голограммических оптических элементов (ГОЭ) — сильная хроматическая аберрация. Для устранения этой аберрации можно сконструировать систему из нескольких ГОЭ, причем ее параметры выбрать так, чтобы хроматическая аберрация была наименьшей. Такой способ описывается, например, в работе\*, где рассматриваются системы из ГОЭ типа «плоская линза». В нашем сообщении рассматриваются системы из ГОЭ типа «плоская призма». Плоская призма представляет собой прозрачный слой с пилообразно меняющимся в одном направлении коэффициентом преломления.

Далее будут использоваться следующие обозначения:  $i=1-3$  — номера плоских призм по ходу светового луча;  $\theta_i$  — угол поворота  $i$ -й плоской призмы (рис. 1);  $\varphi_i$  — угол между нормалью к  $i$ -й плоской призме и направлением, в котором распространяется световая волна, преломленная этой призмой (см. рис. 1);  $\alpha_i$  — угол, характеризующий преломляющие свойства  $i$ -й плоской призмы;  $\gamma$  — угол, на который луч света отклонится от первоначального направления, пройдя через систему из плоских призм;  $\mu=\lambda/\lambda_0$  — отношение длины волны света к основной длине волны.

Действия одной плоской призмы описываются следующей формулой (рис. 2):

$$\sin \gamma = \sin \alpha \cdot \mu + \sin \beta = \sin \alpha (\lambda/\lambda_0) + \sin \beta. \quad (1)$$

На рис. 3 штриховой линией изображена относительная дисперсия для одной плоской призмы в случае малых  $\gamma$ .

Для системы из двух плоских призм получается следующее выражение (см. рис. 1):

$$\gamma = \arcsin \{ \sin [\arcsin (\mu \sin \alpha_1 + \sin \theta_1) - \theta_1 + \theta_2] + \mu \sin \alpha_2 \} - \theta_2. \quad (2)$$

Если выбрать условие ахроматичности таким:

$$\gamma'(\lambda_0) = 0, \quad (3)$$

то для системы из двух плоских призм это приводит к уравнению

$$\sin \alpha_2 = \frac{\sin \alpha_1 (\sin \alpha_1 + \sin \theta_1) \sin (\theta_2 - \theta_1)}{\sqrt{1 - (\sin \alpha_1 + \sin \theta_1)^2}} - \cos (\theta_2 - \theta_1) \sin \alpha_1. \quad (4)$$

Подставляя выражение (4) в (2), получим

$$\gamma(\lambda_0) = \arcsin \left[ \frac{\cos^2 \theta_1 - \sin \alpha_1 \sin \theta_1}{\sqrt{1 - (\sin \alpha_1 + \sin \theta_1)^2}} \sin (\theta_2 - \theta_1) + \sin \theta_1 \cos (\theta_2 - \theta_1) \right] - \theta_2. \quad (5)$$

При этом для параллельных плоских призм ( $\theta_2 = \theta_1$ ) получается  $\gamma = 0$ .

Для примера были рассчитаны две системы (рис. 4, а, б):

а)  $\theta_1 = 0^\circ$ ;  $\theta_2 = 30^\circ$ ;  $\alpha_1 = 15^\circ$ ;  $\alpha_2 = -10^\circ 55'$ ;

б)  $\theta_1 = 0^\circ$ ;  $\theta_2 = 45^\circ$ ;  $\alpha_1 = 15^\circ$ ;  $\alpha_2 = -7^\circ 42'$ .

Для системы «а»  $\gamma(\lambda_0) = 1^\circ 11'$ , для «б»  $\gamma(\lambda_0) = 2^\circ 03'$ . Относительная дисперсия  $\gamma(\lambda) - \gamma(\lambda_0)/\gamma(\lambda_0)$  для этих двух систем оказалась примерно одинаковой и изображена на рис. 3.

\* Bennett S. I. Achromatic combinations of hologram optical elements.—“Appl. Opt.”, 1976, vol. 15, № 2, p. 542.

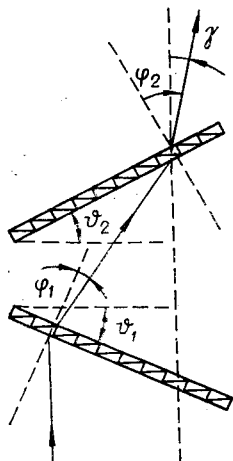


Рис. 1.

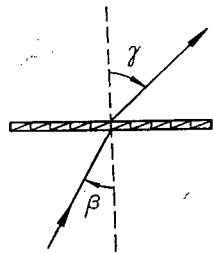


Рис. 2.

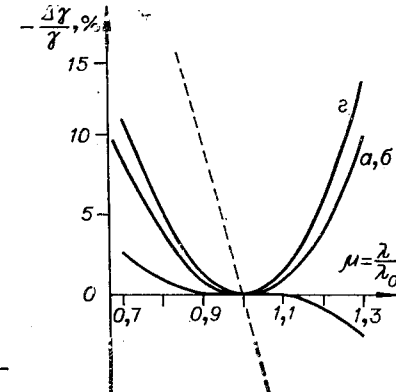


Рис. 3.

Углы отклонения малы потому, что в случае с ГОЭ знак дисперсии жестко связан с функцией оптического элемента. При вычитании дисперсий вычитаются и углы отклонения.

Рассматривались также системы из трех плоских призм. Уравнения для общего случая оказались слишком громоздкими. Поэтому рассматривались только системы, для которых  $\theta_1=0$ . Для системы (см. рис. 4, *в*) с целью дальнейшего уменьшения дисперсии было поставлено условие  $\gamma'(\lambda_0)=0$  и  $\gamma''(\lambda_0)=0$ . При  $\theta_1=0$  условие  $\gamma'(\lambda_0)=0$  приводит к уравнению

$$\sin \alpha_3 = \frac{(\sin \theta_2 - \sin \varphi_2 \cos \alpha_1)}{\cos \alpha_1 \cos \varphi_2} \cos (\varphi_2 - \theta_2 + \theta_3), \quad (6)$$

а условие  $\gamma''(\lambda_0)=0$  к уравнению

$$\sin (\theta_2 - \theta_3)(\sin \theta_2 - \sin \varphi_2 \cos \alpha_1)^2 = \frac{\cos (\varphi_2 - \theta_2 + \theta_3) \sin^2 \alpha_1 \sin \theta_2}{\cos \alpha_1}. \quad (7)$$

Для системы рис. 4, *в* получались следующие параметры:  $\theta_1=0$ ;  $\alpha_1=15^\circ$ ;  $\theta_2=45^\circ$ ;  $\alpha_2=-15^\circ$ ;  $\theta_3=-54^\circ 50'$ ;  $\alpha_3=4^\circ 10'$ ;  $\gamma(\lambda_0)=21'23''$ . Видно, что уменьшение дисперсии (см. рис. 3) «обменивается» на дальнейшее уменьшение  $\gamma$ .

С целью получения большего угла  $\gamma$  была рассчитана система рис. 4, *г*. Ее параметры:  $\theta_1=\theta_2=0$ ;  $\theta_3=45^\circ$ ;  $\alpha_1=\alpha_2=15^\circ$ ;  $\alpha_3=-8^\circ 19'$ ;  $\gamma(\lambda_0)=10^\circ 44'$ . При расчете было

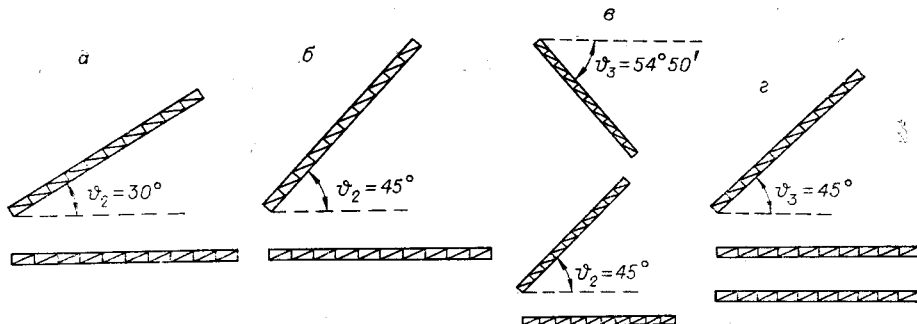


Рис. 4.

предложено только одно условие  $\gamma'(\lambda_0)=0$ . Относительная дисперсия системы рис. 4, *г* также получилась большей (см. рис. 3), чем в предыдущих системах. По-видимому, общая закономерность состоит в том, что, уменьшая дисперсию, мы уменьшаем  $\gamma$  и наоборот.

Поступило в редакцию 29 октября 1976 г.